

- [4] J. Ferguson, H. J. Guggenheim, Y. Tapanie. *J. Appl. Phys.*, **36**, 1046, 1965.  
[5] A. E. Никифоров. ФТТ, **7**, 1248, 1965; Ю. А. Шерстков, В. И. Непша, А. Е. Никифоров, В. И. Черепанов. Письма ЖЭТФ, **3**, 401, 1966.  
[6] Ю. В. Яблоков, В. А. Гапоненко, А. В. Яблов, Т. Н. Жихарев. ФТТ, **15**, 337, 1973.  
[7] В. Я. Митрофанов, Д. С. Фарберов, А. Е. Никифоров, А. Н. Мень. ДАН СССР, **207**, 1088, 1972; В. А. Гапоненко, М. В. Еремин, Ю. В. Яблоков. ФТТ, **14**, 3420, 1972.  
[8] S. A. Bates, R. F. Jasper. *J. Phys. C: Sol. St.*, **4**, 2330, 1971.

Уральский государственный  
университет им. А. М. Горького  
Институт metallургии УНЦ АН СССР  
Свердловск

Поступило в Редакцию  
7 февраля 1973 г.  
В окончательной редакции  
23 мая 1973 г.

## «КВАДРУПОЛЬНЫЕ» ЭХО В СИСТЕМАХ С ДИПОЛЬ-ДИПОЛЬНЫМ ВЗАИМОДЕЙСТВИЕМ

Ю. Н. Москвич, Н. А. Сергеев, Г. И. Доценко

Хорошо известно [1, 2], что импульсные эксперименты по эху в твердых телах, содержащих изолированные пары ядер с  $I = 1/2$ , могут быть описаны рассмотрением данных пар как частиц с  $I = 1$ . Гамильтониан, описывающий энергетические уровни двухспиновой системы, при этом подобен гамильтониану квадрупольного взаимодействия. Недавно Аллен и другие [3] показали, что эхо после последовательности двух или трех импульсов от изолированной трехспиновой системы (группы  $\text{CH}_3$  в  $\text{CH}_3\text{COOD}$ ), совершающей быстрое туннельное вращение [4], можно объяснить аналогичным образом, если рассматривать трехспиновую систему как одну квазиквадрупольную частицу с  $I = 3/2$ . В настоящей работе показано, что подобные «квадрупольные» эхо могут наблюдаться и в случае классического вращения трехспиновой системы, состоящей из трех ядер с  $I = 1/2$ .

Рассмотрим изолированную трехспиновую систему, совершающую вращательное движение вокруг фиксированной оси, нормальной к плоскости треугольника, с частотой  $\omega_{\text{вр}}$ . Гамильтониан взаимодействия в этом случае имеет вид [5, 6]

$$\mathcal{H} = \mathcal{H}_{\text{зэм}} + \mathcal{H}_1 + \mathcal{H}_2(t),$$

где  $\mathcal{H}_{\text{зэм}}$  — гамильтониан зеемановского взаимодействия,  $\mathcal{H}_1$  и  $\mathcal{H}_2(t)$  соответственно не зависящие и зависящие от времени части гамильтониана диполь-дипольного взаимодействия  $\mathcal{H}_{\text{д-д}}^0$ . Если  $\omega_{\text{вр}}$  намного больше ширины спектра ЯМР жесткой трехспиновой системы, то  $\mathcal{H}_2(t)$  дает вклад в экспериментально ненаблюдаемые крылья линии ЯМР и поэтому может быть опущен [5, 6]. Тогда

$$\mathcal{H} = \mathcal{H}_{\text{зэм}} + \mathcal{H}_1 = -\gamma\hbar \sum_{i=1}^3 I_z^i + a \sum_{i < j} (\mathbf{I}^i \cdot \mathbf{I}^j - 3I_z^i I_z^j). \quad (2)$$

Здесь

$$a = 1/3 (A_{12} + A_{23} + A_{13}); \quad A_{ij} = \frac{\hbar^2 \gamma^2}{2r_{ij}^3} (3 \cos^2 \theta_{ij} - 1),$$

$r_{ij}$  — расстояние между  $i$  и  $j$  спинами трехспиновой системы,  $\Theta_{ij}$  — угол между магнитным полем  $\mathbf{H}_0$  и  $\mathbf{r}_{ij}$ .

В качестве базисных волновых функций удобно выбрать следующие волновые функции

$$\begin{aligned}
& |\alpha\alpha\alpha\rangle, \\
& \frac{1}{\sqrt{3}} (|\alpha\alpha\beta\rangle + |\alpha\beta\alpha\rangle + |\beta\alpha\alpha\rangle), \\
& \frac{1}{\sqrt{3}} (|\beta\beta\alpha\rangle + |\beta\alpha\beta\rangle + |\alpha\beta\beta\rangle), \\
& |\beta\beta\beta\rangle, \\
& \frac{1}{\sqrt{2}} (|\alpha\beta\alpha\rangle - |\alpha\alpha\beta\rangle), \\
& \frac{1}{\sqrt{2}} (|\beta\alpha\beta\rangle - |\beta\beta\alpha\rangle), \\
& \frac{1}{\sqrt{6}} (2|\beta\alpha\alpha\rangle - |\alpha\beta\alpha\rangle - |\alpha\alpha\beta\rangle), \\
& \frac{1}{\sqrt{6}} (2|\alpha\beta\beta\rangle - |\beta\alpha\beta\rangle - |\beta\beta\alpha\rangle),
\end{aligned} \left. \begin{array}{l} \\ \\ \\ \\ \\ \\ \\ \\ \end{array} \right\} \begin{array}{l} \text{квартет } (\mathcal{J}=3/2); \\ \\ \text{дублет I } (\mathcal{J}=1/2); \\ \\ \text{дублет II } (\mathcal{J}=1/2). \end{array} \quad (3)$$

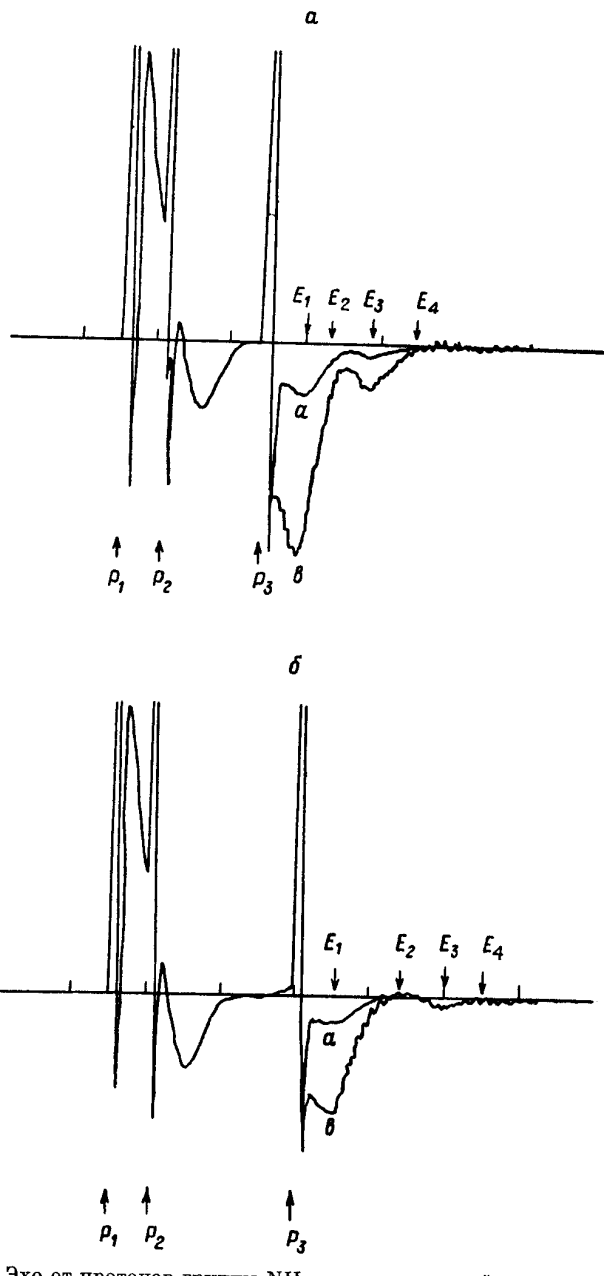
В выбранном базисе (3) гамильтониан (2) имеет диагональный вид, причем  $\mathcal{H}_1$  имеет отличные от нуля матричные элементы только между состояниями с волновыми функциями квартета  $\mathcal{J}=3/2$ . Это позволяет рассматривать вращающуюся трехспиновую систему, по аналогии с [3], как сумму трех квазичастиц: квазичастицы со спином 3/2 и двух квазичастиц со спином 1/2. Гамильтониан взаимодействия для квазичастицы с  $\mathcal{J}=3/2$  может быть записан, исходя из выражения (2), в следующем виде

$$\mathcal{H} = -\gamma\hbar H_0 \mathcal{J}_z - \frac{a}{2} [3J_z^2 - J(J+1)], \quad \mathcal{J}_z = I_{z1} + I_{z2} + I_{z3}. \quad (4)$$

Спектр ЯМР гамильтониана (4) есть триплет  $\omega_0 + 3a$ ,  $\omega_0 = \gamma H_0$ ,  $\omega_0 - 3a$  с интенсивностями 3 : 4 : 3. Поскольку  $\mathcal{H}_1$  в (2) имеет нулевые матричные элементы для дублетов I и II, то спектр ЯМР от квазичастиц с  $\mathcal{J} = 1/2$  есть одиночные линии на резонансной частоте  $\omega_0$  с одинаковыми интенсивностями 1 : 1. Очевидно, что суммарный спектр ЯМР совпадает со спектром вращающегося треугольника, рассчитанным Эндрю и Берзоном [7]. Гамильтониан (4) по виду совпадает с гамильтонианом квадрупольной частицы с  $I = 3/2$ , и поэтому следует ожидать, что квазичастицы с  $\mathcal{J} = 3/2$  ведут себя аналогично квадрупольной частице с  $I = 3/2$  в сильном магнитном поле, взаимодействующей с градиентом электрического поля в месте расположения частицы.

Для экспериментальной проверки этого предположения нами использовалась последовательность трех когерентных импульсов  $90^\circ - \tau_1 - \beta_1 - \tau_2 - \beta_2$ , где  $\beta_1$  и  $\beta_2$  — длительности второго и третьего импульсов в фазе с первым импульсом,  $\tau_1$  и  $\tau_2$  — соответствующие интервалы между импульсами. Мэнсфилд и другие [8] показали, что для такой последовательности импульсов система квадрупольных спинов с  $I = 3/2$  дает четыре эха при  $(2\tau_1 + \tau_2)$ ,  $2\tau_2$ ,  $(\tau_1 + 2\tau_2)$ ,  $2(\tau_1 + \tau_2)$ , если  $\tau_2 \leq T_2$ . Для больших  $\tau_2$  наблюдается лишь одно стимулированное эхо при  $(2\tau_1 + \tau_2)$ .

На рисунке приведены результаты эксперимента, проведенного при комнатной температуре на поликристаллическом образце сульфаминовой кислоты  $\text{NH}_3\text{SO}_3$ , в которой имеются подвижные группы  $\text{NH}_3$  [9]. Эксперимент проводился на импульсном спектрометре SXP 4-100 на частоте 90 МГц с использованием фазового детектирования. На рисунках видны сигналы свободной индукции после первого импульса, эхо после второго импульса, наблюдаемое, как и в случае реальной квадрупольной системы с  $I = 3/2$ , при  $t = 2\tau_1$  [10], и стимулированные эхо после третьего импульса. В соответствии с [8] увеличение  $\tau_2$  до  $\tau_2 > T_2$  (см. рисунок, б) приводит к исчезновению эхо  $E_3$  и остается одно лишь первое стимулированное эхо  $E_1$ . Эхо после третьего импульса в выделены большим усилением при записи



Эхо от протонов группы  $\text{NH}_3$  в порошке сульфаминовой кислоты при комнатной температуре после последовательности импульсов  $90^\circ - \tau_1 - 40^\circ - \tau_2 - 90^\circ$ .

$P_i$  — импульсы,  $E_i$  — вычисленные положения эха от реальной квадрупольной системы с  $I=3/2$  после третьего импульса;  $t_\omega^{90^\circ} = 4.3$  мксек.,  $\tau_1 = 27$  мксек., горизонтальный масштаб — 50 мксек. на деление.  $\tau_2$ , мксек.:  $a = 70$ ,  $b = 100$ .

на самописец, а позволяет соотнести амплитуды эхо к амплитуде сигналов свободной индукции.

Авторы выражают благодарность Э. И. Федину и А. Л. Блюменфельду за оказанное содействие в проведении эксперимента и А. Г. Лундину за интерес к работе.

#### Л и т е р а т у р а

- [1] D. S. Metzger, J. R. Gaines. Phys. Rev., 147, 644, 1966.
- [2] G. Siegle. Z. Naturforsch., 23a, 1194, 1968.
- [3] P. S. Allen, W. Hardinge, P. Mansfield. J. Phys. C: Sol. St. Phys., 5, 189, 1972.
- [4] J. H. Freed. J. Chem. Phys., 43, 1710, 1965.
- [5] А. Абрагам. Ядерный магнетизм. ИЛ, М., 1963.
- [6] И. В. Александров. Теория ядерного магнитного резонанса. «Наука», М., 1968.
- [7] E. R. Andrew, R. Bergsohn. J. Chem. Phys., 18, 159, 1950.
- [8] P. Mansfield, D. E. MacLaughlin, J. Butterworth. J. Phys. C: Sol. St. Phys., 3, 1071, 1970.
- [9] S. Fujiwara, I. Yamaguchi. Bull. Chem. Soc. Japan, 31, 786, 1958.
- [10] I. Solomon. Phys. Rev., 110, 61, 1958.

Институт физики  
им. Л. В. Киренского СО АН СССР  
Красноярск

Поступило в Редакцию  
23 мая 1973 г.

## ИЗМЕНЕНИЕ ДИСЛОКАЦИОННОЙ СТРУКТУРЫ КРЕМНИЯ ПРИ ОБЛУЧЕНИИ ИОНАМИ СРЕДНИХ ЭНЕРГИЙ

П. В. Павлов, В. И. Пашков, В. М. Генкин,  
Г. В. Камаева, В. И. Никишин,  
Ю. Н. Огарков, Г. И. Успенская

В последнее время возрос интерес к структурным изменениям, происходящим в материале при облучении ионами средних энергий. Известно [1], что возникающие при этом нарушения проникают на глубины, в десятки раз превышающие ширину имплантированного слоя. В настоящей статье показано, что облучение кремния ионами вызывает структурные изменения, охватывающие весь кристалл; в частности, эти изменения проявляются в перемещении дислокаций вблизи поверхности, противоположной облучаемой.

Исследования проводились на образцах кремния КЭФ-15, вырезанных нормально направлению [111], диаметром 30 и толщиной 0.6 мм, с плотностью дислокаций  $3 \cdot 10^3 \text{ см}^{-2}$ . На одной стороне пластины корундовой иглой наносились взаимно перпендикулярные царапины различной глубины. Пластины облучались ионами  $\text{Ag}^+$  с энергией 40 кэв и плотностью тока 20 мкА/см<sup>2</sup>. Доза облучения изменялась от  $6 \cdot 10^{16}$  до  $6 \cdot 10^{17} \text{ см}^{-2}$ .

Изменение структуры фиксировалось на рентгеновских топограммах, полученных методом Ланга на отражении (220) (излучение Mo).

Получены топограммы одного и того же участка образца с царапиной до облучения, после облучения и через 1.5 месяца после облучения. Из топограмм видно, что облучение приводит к увеличению контраста отдельных дислокационных линий; для некоторых линий наблюдается смещение ( $\sim 10 \text{ мкм}$ ); дающая сплошной темный контраст царапина до облучения под действием облучения распадается на систему отдельных дислокаций, распространяющихся от нее на расстояние 150—200 мкм.

Факт смещения дислокаций, очевидно, полностью объясняется их взаимодействием с избыточными точечными дефектами, генерируемыми облучением [2, 3]. Увеличение контраста может быть связано как с разрушением в процессе облучения атмосфер вокруг дислокаций, сформи-